

Modélisation de la maintenance à partir de réseaux bayésiens dynamiques

Application à la prévention des ruptures de rails

Roland Donat Laurent Bouillaut Patrice Aknin

Pôle diagnostic
Laboratoire des Technologies Nouvelles
INRETS

Groupe de Travail Fiabilité, UMLV, vendredi 27 2009

Plan de la présentation

- 1 Contexte, objectifs et approches
- 2 Réseaux bayésiens
- 3 Modélisation de la dégradation du système
- 4 Modélisation de la maintenance
- 5 Application ferroviaire
- 6 Conclusions et perspectives

Contexte

- **Contexte ferroviaire :**
 - Augmentation du trafic
 - Matériel roulant plus agressif

Contexte

- **Contexte ferroviaire :**
 - Augmentation du trafic
 - Matériel roulant plus agressif
- ⇒ **Augmentation des défauts de fatigue**
 - ⇒ Perturbations du service voyageur
 - ⇒ Coûts de maintenance importants

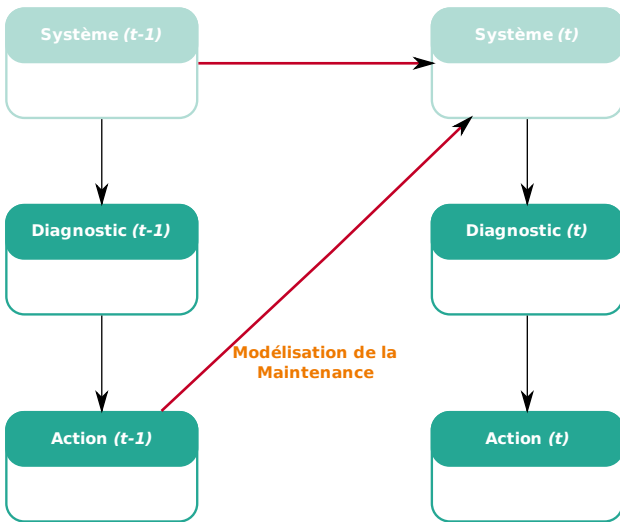
Contexte

- **Contexte ferroviaire :**
 - Augmentation du trafic
 - Matériel roulant plus agressif
- ⇒ **Augmentation des défauts de fatigue**
 - ⇒ Perturbations du service voyageur
 - ⇒ Coûts de maintenance importants
- **Demande industriel :**
 - Développement d'un outils d'aide à la maintenance des rails

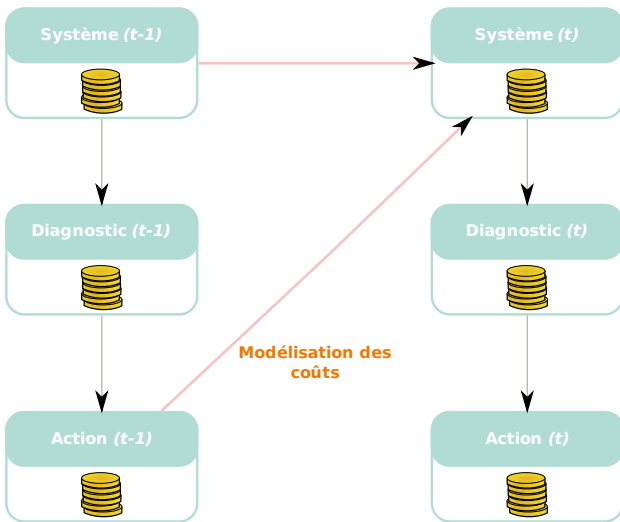
Objectifs



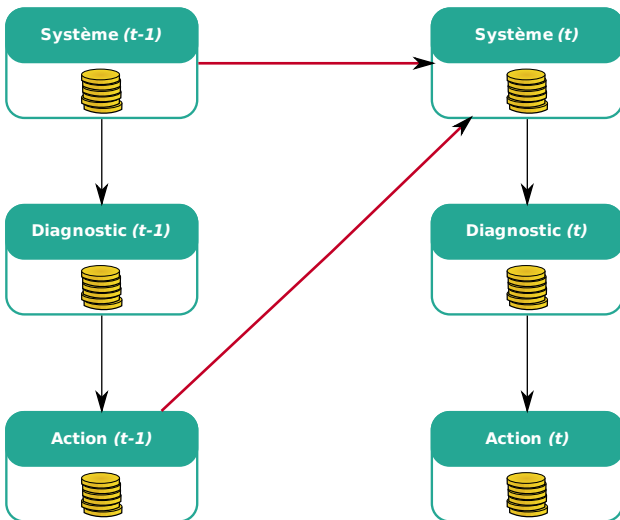
Objectifs



Objectifs



Objectifs



Approche

- **Approche** : Modélisation par réseaux bayésiens

Approche

- **Approche** : Modélisation par réseaux bayésiens
- **Motivations** :
 - 1 Aspect graphique intuitif
 - 2 Fort potentiel de modélisation
 - 3 Outils génériques disponibles pour :
 - Le calcul des probabilités
 - L'apprentissage des paramètres du modèle
 - 4 Solutions logiciels existantes

Réseaux bayésiens (RB)

- 2 Réseaux bayésiens
 - Réseaux bayésiens statiques
 - RB dynamiques
 - Propriétés et outils

Réseaux bayésiens statiques

Definition (Réseau bayésien (Pearl 1988))

Un RB représente la distribution d'une suite de variables aléatoires (v.a.) $\mathbf{X} = (X_1, \dots, X_D)$ à partir :

- D'un graphe orienté sans circuit où
 - ⇒ Les nœuds représentent les variables
 - ⇒ Les arcs indiquent des relations de dépendances
- Des lois de probabilité de chaque v.a. X_d conditionnellement à ses parents, notés $pa(X_d)$

Réseaux bayésiens statiques

Definition (Réseau bayésien (Pearl 1988))

Un RB représente la distribution d'une suite de variables aléatoires (v.a.) $\mathbf{X} = (X_1, \dots, X_D)$ à partir :

- D'un graphe orienté sans circuit où
 - ⇒ Les nœuds représentent les variables
 - ⇒ Les arcs indiquent des relations de dépendances
- Des lois de probabilité de chaque v.a. X_d conditionnellement à ses parents, notés $pa(X_d)$

X

W

Y

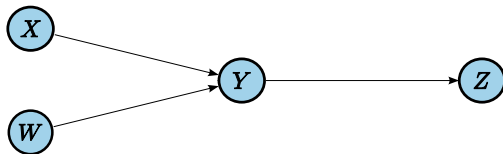
Z

Réseaux bayésiens statiques

Definition (Réseau bayésien (Pearl 1988))

Un RB représente la distribution d'une suite de variables aléatoires (v.a.) $\mathbf{X} = (X_1, \dots, X_D)$ à partir :

- D'un graphe orienté sans circuit où
 - ⇒ Les nœuds représentent les variables
 - ⇒ Les arcs indiquent des relations de dépendances
- Des lois de probabilité de chaque v.a. X_d conditionnellement à ses parents, notés $pa(X_d)$

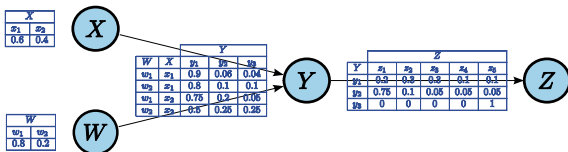


Réseaux bayésiens statiques

Definition (Réseau bayésien (Pearl 1988))

Un RB représente la distribution d'une suite de variables aléatoires (v.a.) $\mathbf{X} = (X_1, \dots, X_D)$ à partir :

- D'un graphe orienté sans circuit où
 - ⇒ Les nœuds représentent les variables
 - ⇒ Les arcs indiquent des relations de dépendances
- Des lois de probabilité de chaque v.a. X_d conditionnellement à ses parents, notés $pa(X_d)$



RB markovien

Definition (RB markovien (Murphy 2002))

Un RBM représente la distribution d'une suite de v.a.

$(\mathbf{X}_t)_{1 \leq t \leq T} = (X_{t,1}, \dots, X_{t,D})_{1 \leq t \leq T}$ à partir :

- D'un RB représentant la loi initiale $P(\mathbf{X}_1)$
- D'un RB représentant la loi de transition $P(\mathbf{X}_t | \mathbf{X}_{t-1})$

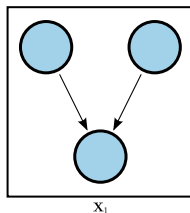
RB markovien

Definition (RB markovien (Murphy 2002))

Un RBM représente la distribution d'une suite de v.a.

$(\mathbf{X}_t)_{1 \leq t \leq T} = (X_{t,1}, \dots, X_{t,D})_{1 \leq t \leq T}$ à partir :

- D'un RB représentant la loi initiale $P(\mathbf{X}_1)$
- D'un RB représentant la loi de transition $P(\mathbf{X}_t | \mathbf{X}_{t-1})$



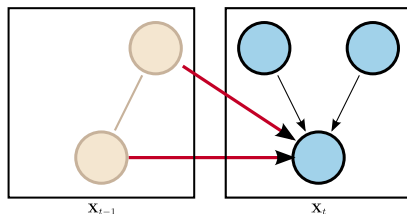
RB markovien

Definition (RB markovien (Murphy 2002))

Un RBM représente la distribution d'une suite de v.a.

$(\mathbf{X}_t)_{1 \leq t \leq T} = (X_{t,1}, \dots, X_{t,D})_{1 \leq t \leq T}$ à partir :

- D'un RB représentant la loi initiale $P(\mathbf{X}_1)$
- D'un RB représentant la loi de transition $P(\mathbf{X}_t | \mathbf{X}_{t-1})$



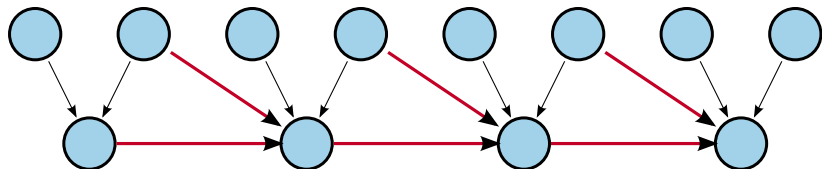
RB markovien

Definition (RB markovien (Murphy 2002))

Un RBM représente la distribution d'une suite de v.a.

$(\mathbf{X}_t)_{1 \leq t \leq T} = (X_{t,1}, \dots, X_{t,D})_{1 \leq t \leq T}$ à partir :

- D'un RB représentant la loi initiale $P(\mathbf{X}_1)$
- D'un RB représentant la loi de transition $P(\mathbf{X}_t | \mathbf{X}_{t-1})$



Propriétés et outils

- **Factorisation de la loi jointe**

- RB Statiques : $P(X_1, \dots, X_D) = \prod_{d=1}^D P(X_d | \text{pa}(X_d))$

Propriétés et outils

- **Factorisation de la loi jointe**

- RB Statiques : $P(X_1, \dots, X_D) = \prod_{d=1}^D P(X_d | \text{pa}(X_d))$
- RBM : $P((\mathbf{X}_t)_{1 \leq t \leq T}) = \prod_{d=1}^D P(X_{1,d} | \text{pa}(X_{1,d})) \prod_{t=2}^T \prod_{d=1}^D P(X_{t,d} | \text{pa}(X_{t,d}))$

Propriétés et outils

- **Factorisation de la loi jointe**

- RB Statiques : $P(X_1, \dots, X_D) = \prod_{d=1}^D P(X_d | \text{pa}(X_d))$

- RBM : $P((\mathbf{X}_t)_{1 \leq t \leq T}) =$
 $\prod_{d=1}^D P(X_{1,d} | \text{pa}(X_{1,d})) \prod_{t=2}^T \prod_{d=1}^D P(X_{t,d} | \text{pa}(X_{t,d}))$

⇒ Représentation parcimonieuse du processus

Propriétés et outils

- **Factorisation de la loi jointe**

- RB Statiques : $P(X_1, \dots, X_D) = \prod_{d=1}^D P(X_d | \text{pa}(X_d))$

- RBM : $P((\mathbf{X}_t)_{1 \leq t \leq T}) = \prod_{d=1}^D P(X_{1,d} | \text{pa}(X_{1,d})) \prod_{t=2}^T \prod_{d=1}^D P(X_{t,d} | \text{pa}(X_{t,d}))$

⇒ Représentation parcimonieuse du processus

- **Apprentissage des LPC** (cf. (Naïm et al. 2007))

⇒ Estimation de chacune des lois $P(X_d | \text{pa}(X_d))$ à partir de données

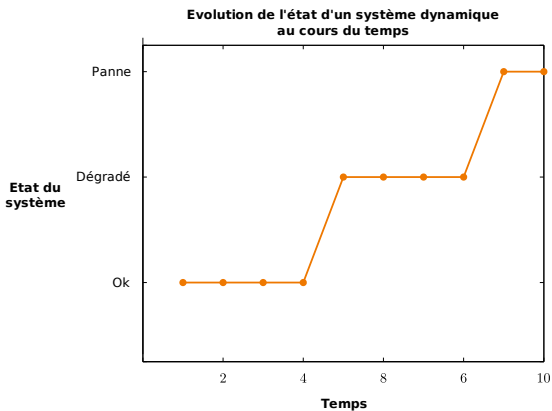
- **Inférence** (cf. Murphy (2002))

⇒ Calcul de n'importe quelle loi $P(\mathbf{X}_{\text{requête}})$

Modélisation de la dégradation du système

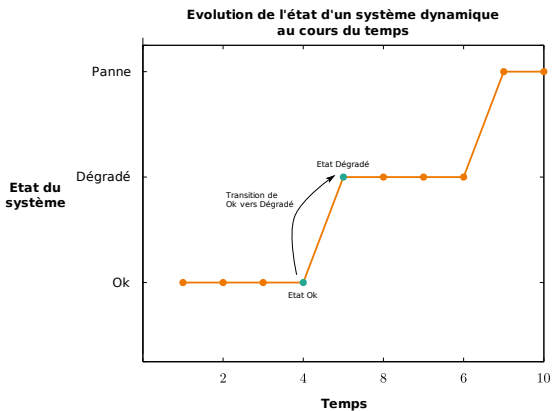
- 3 Modélisation de la dégradation du système
 - Objectifs et approche
 - Modèle graphique de durée à variables d'actions
 - Inférence

Objectifs



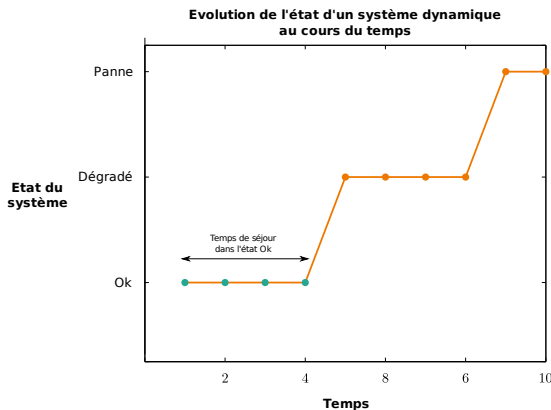
Objectifs

⇒ Modéliser les transitions entre les états du système



Objectifs

- ⇒ Modéliser les transitions entre les états du système
- ⇒ Modéliser les temps de séjour dans chaque état



Approche

- **Approche** : Proposer un RBM adapté aux systèmes :
 - Multi-états
 - Dont le processus de dégradation est complexe
 - Sur lesquels il est possible d'agir aux cours du temps

Approche

- **Approche** : Proposer un RBM adapté aux systèmes :
 - Multi-états
 - Dont le processus de dégradation est complexe
 - Sur lesquels il est possible d'agir au cours du temps
- **Idée** : Extension des modèles à variables de durée (Murphy 2002)

Approche

- **Approche** : Proposer un RBM adapté aux systèmes :
 - Multi-états
 - Dont le processus de dégradation est complexe
 - Sur lesquels il est possible d'agir aux cours du temps
- **Idée** : Extension des modèles à variables de durée (Murphy 2002)
- **Hypothèses** : Espace d'états et temps discret

Approche

- **Approche** : Proposer un RBM adapté aux systèmes :
 - Multi-états
 - Dont le processus de dégradation est complexe
 - Sur lesquels il est possible d'agir aux cours du temps
- **Idée** : Extension des modèles à variables de durée (Murphy 2002)
- **Hypothèses** : Espace d'états et temps discret
- **Notations** :
 - X_t : État du système à l'instant t
 - S_t : Temps de séjour restant dans l'état courant à l'instant t
 - A_t : Action sélectionnée à l'instant t

Modèle graphique de durée à variables d'actions

Loi initiale

 X_1 S_1 A_1

Modèle graphique de durée à variables d'actions

Loi initiale

X_1
 q_1

S_1

A_1

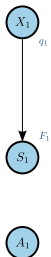
État initial

Probabilité initiale de chaque état $x \in \mathcal{X}$:

$$P(X_1 = x) = q_1(x)$$

Modèle graphique de durée à variables d'actions

Loi initiale



Temps de séjour initial

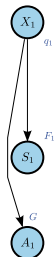
Probabilité de rester s unités de temps dans l'état initial :

$$P(S_1 = s | X_1 = x) = F_1(x, s)$$

avec $s \in \{1, 2, \dots, T\}$ et T représentant l'horizon temporel

Modèle graphique de durée à variables d'actions

Loi initiale



Action initial

Probabilité de sélectionner l'action $a \in \mathcal{A}$ sachant que x est l'état courant :

$$P(A_t = a | X_t = x) = P(A_1 = a | X_1 = x) = G(x, a)$$

Notation :

$\mathcal{A}^x \subseteq \mathcal{A}$: Ensemble des actions agissant sur l'état du système

Modèle graphique de durée à variables d'actions

Loi initiale



Loi initiale

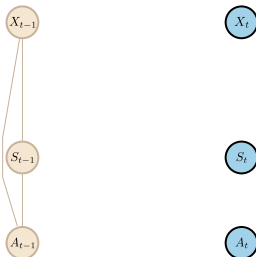
La loi initiale du système, notée Φ_1 , vérifie :

$$\begin{aligned}\Phi_1(x, s, a) &= P(X_1, S_1, A_1) \\ &= P(X_1) P(S_1|X_1) P(A_1|X_1)\end{aligned}$$

$$\Phi_1(x, s, a) = q_1(x) F_1(x, s) G(x, a)$$

Modèle graphique de durée à variables d'actions

Loi de transition



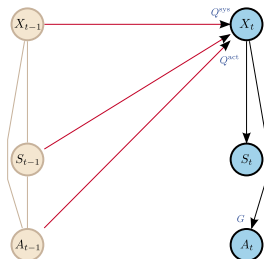
Modèle graphique de durée à variables d'actions

Loi de transition



Modèle graphique de durée à variables d'actions

Loi de transition



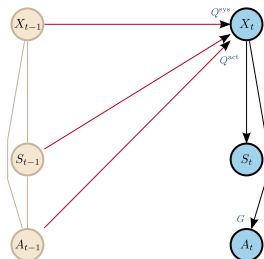
Transition entre états - cas $S_{t-1} = 1$ et $A_{t-1} \notin \mathcal{A}^X$

- Le système change naturellement d'état après écoulement du temps de séjour
- Probabilité de passer de l'état x' à x :

$$P\left(X_t = x \mid X_{t-1} = x', S_{t-1} = 1, A_{t-1} \notin \mathcal{A}^X\right) = Q^{\text{sys}}(x', x)$$

Modèle graphique de durée à variables d'actions

Loi de transition



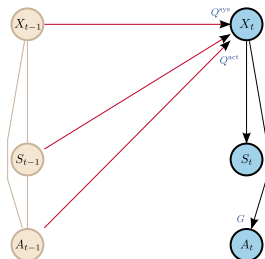
Transition entre états - cas $S_{t-1} \geq 2$ et $A_{t-1} \notin \mathcal{A}^X$

- Le temps de séjour dans l'état courant n'est pas écoulé
- ⇒ Le système reste dans le même état

$$P\left(X_t = x | X_{t-1} = x', S_{t-1} \geq 2, A_{t-1} \notin \mathcal{A}^X\right) = \mathbb{1}(x = x')$$

Modèle graphique de durée à variables d'actions

Loi de transition



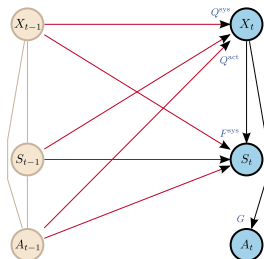
Transition entre états - cas $A_{t-1} \in \mathcal{A}^X$

- L'action sélectionnée agit sur le système et force une transition
- Probabilité de passer de l'état x' à x après l'action $a' \in \mathcal{A}^X$:

$$P(X_t = x | X_{t-1} = x', S_{t-1}, A_{t-1} = a') = Q^{\text{act}}(x', a', x)$$

Modèle graphique de durée à variables d'actions

Loi de transition



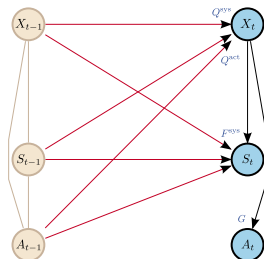
Transition des temps de séjour - cas $S_{t-1} = 1$ ou $A_{t-1} \in \mathcal{A}^X$

- Temps de séjour écoulé ou action effective sélectionnée
- Probabilité de séjourner s unités de temps dans l'état x sachant que l'on était dans l'état x' :

$$P(S_t = s | X_{t-1} = x', S_{t-1} = 1 \cup A_{t-1} \in \mathcal{A}^X, X_t = x) = F^{\text{sys}}(x', x, s)$$

Modèle graphique de durée à variables d'actions

Loi de transition



Transition des temps de séjour - cas $S_{t-1} \geq 2$ et $A_{t-1} \notin \mathcal{A}^X$

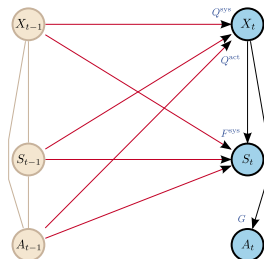
- Temps de séjour non écoulé et aucune action effective sélectionnée

⇒ Le temps de séjour $s' \geq 2$ est décompté d'une unité de temps

$$P(S_t = s | X_{t-1} = x', S_{t-1} = s', A_{t-1} \notin \mathcal{A}^X, X_t = x) = \mathbb{1}(s = s' - 1)$$

Modèle graphique de durée à variables d'actions

Loi de transition



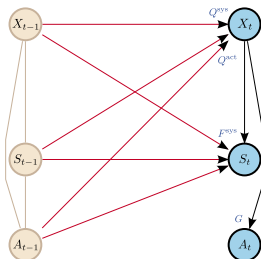
Loi de transition du système

La loi de transition du système, notée Π , est définie par :

$$\begin{aligned}
 \Pi &= P(X_t, S_t, A_t | X_{t-1}, S_{t-1}, A_{t-1}) \\
 &= P(X_t | X_{t-1}, S_{t-1}, A_{t-1}) P(S_t | X_{t-1}, S_{t-1}, A_{t-1}, X_t) \\
 &\quad P(A_t | X_t)
 \end{aligned}$$

Modèle graphique de durée à variables d'actions

Loi de transition



Loi de transition du système

La loi de transition du système, notée Π , est définie par :

$$\Pi(x', s', a', x, s, a) = G(x, a) \begin{cases} Q^{sys}(x', x) F^{sys}(x', x, s) & s' = 1, a' \notin \mathcal{A}^X \\ \mathbb{1}(x = x') \mathbb{1}(s = s' - 1) & s' \geq 2, a' \notin \mathcal{A}^X \\ Q^{act}(x', a', x) F^{sys}(x', x, s) & a' \in \mathcal{A}^X \end{cases}$$

Inférence

Calcul de $\Phi_t = P(X_t, S_t, A_t)$

Par définition, $\Phi_t(x, s, a) =$

$$\left\{ \begin{array}{ll} \Phi_1(x, s, a) & t = 1 \\ \sum_{x' \in \mathcal{X}} \sum_{s'=1}^T \sum_{a' \in \mathcal{A}} \Phi_{t-1}(x', s', a') \Pi(x', s', a', x, s, a) & t \geq 2 \end{array} \right.$$

⇒ Schéma classique (chaîne de Markov)

Inférence

Calcul de $\Phi_t = P(X_t, S_t, A_t)$

Par définition, $\Phi_t(x, s, a) =$

$$\left\{ \begin{array}{ll} q_1(x) F_1(x, s) G(x, a) & t = 1 \\ \sum_{x' \in \mathcal{X}} \sum_{s'=1}^T \sum_{a' \in \mathcal{A}} \Phi_{t-1}(x', s', a') \Pi(x', s', a', x, s, a) & t \geq 2 \end{array} \right.$$

- Factorisation de la loi initiale

Inférence

Calcul de $\Phi_t = P(X_t, S_t, A_t)$

Par définition, $\Phi_t(x, s, a) =$

$$\left\{ \begin{array}{l} q_1(x) F_1(x, s) G(x, a) \\ \sum_{x' \in \mathcal{X}} Q^{\text{sys}}(x', x) F^{\text{sys}}(x', x, s) \sum_{a' \notin \mathcal{A}^X} \Phi_{t-1}(x', 1, a') \end{array} \right. \quad t = 1$$

- Simplification de la loi de transition - Cas : $s' = 1, a' \notin \mathcal{A}^X$

Inférence

Calcul de $\Phi_t = P(X_t, S_t, A_t)$

Par définition, $\Phi_t(x, s, a) =$

$$\left\{ \begin{array}{l} q_1(x) F_1(x, s) G(x, a) \\ \sum_{x' \in \mathcal{X}} Q^{\text{sys}}(x', x) F^{\text{sys}}(x', x, s) \sum_{a' \notin \mathcal{A}^X} \Phi_{t-1}(x', 1, a') + \\ \sum_{x' \in \mathcal{X}} F^{\text{sys}}(x', x, s) \sum_{a' \in \mathcal{A}^X} Q^{\text{act}}(x', a', x) \sum_{s'=1}^T \Phi_{t-1}(x', s', a') \end{array} \right. \quad t = 1$$

- Simplification de la loi de transition - Cas : $a' \in \mathcal{A}^X$

Inférence

Calcul de $\Phi_t = P(X_t, S_t, A_t)$

Par définition, $\Phi_t(x, s, a) =$

$$\left\{ \begin{array}{l} q_1(x) F_1(x, s) G(x, a) \\ \sum_{x' \in \mathcal{X}} Q^{\text{sys}}(x', x) F^{\text{sys}}(x', x, s) \sum_{a' \notin \mathcal{A}^X} \Phi_{t-1}(x', 1, a') + \\ \sum_{x' \in \mathcal{X}} F^{\text{sys}}(x', x, s) \sum_{a' \in \mathcal{A}^X} Q^{\text{act}}(x', a', x) \sum_{s'=1}^T \Phi_{t-1}(x', s', a') + \\ \sum_{a' \notin \mathcal{A}^X} \Phi_{t-1}(x, s-1, a') \end{array} \right. \quad t = 1$$

- Simplification de la loi de transition - Cas : $s' \geq 2, a' \notin \mathcal{A}^X$

Inférence

Calcul de $\Phi_t = P(X_t, S_t, A_t)$

Par définition, $\Phi_t(x, s, a) =$

$$\left\{ \begin{array}{l} q_1(x) F_1(x, s) G(x, a) \quad t = 1 \\ \left[\sum_{x' \in \mathcal{X}} Q^{\text{sys}}(x', x) F^{\text{sys}}(x', x, s) \sum_{a' \notin \mathcal{A}^x} \Phi_{t-1}(x', 1, a') + \right. \\ \left. \sum_{x' \in \mathcal{X}} F^{\text{sys}}(x', x, s) \sum_{a' \in \mathcal{A}^x} Q^{\text{act}}(x', a', x) \sum_{s'=1}^T \Phi_{t-1}(x', s', a') + \right. \\ \left. \sum_{a' \notin \mathcal{A}^x} \Phi_{t-1}(x, s-1, a') \right] G(x, a) \quad t \geq 2 \end{array} \right.$$

Inférence

Calcul de $\Phi_t = P(X_t, S_t, A_t)$

Par définition, $\Phi_t(x, s, a) =$

$$\left\{ \begin{array}{l} q_1(x) F_1(x, s) G(x, a) \quad t = 1 \\ \left[\sum_{x' \in \mathcal{X}} Q^{\text{sys}}(x', x) F^{\text{sys}}(x', x, s) \sum_{a' \notin \mathcal{A}^x} \Phi_{t-1}(x', 1, a') + \right. \\ \left. \sum_{x' \in \mathcal{X}} F^{\text{sys}}(x', x, s) \sum_{a' \in \mathcal{A}^x} Q^{\text{act}}(x', a', x) \sum_{s'=1}^T \Phi_{t-1}(x', s', a') + \right. \\ \left. \sum_{a' \notin \mathcal{A}^x} \Phi_{t-1}(x, s-1, a') \right] G(x, a) \quad t \geq 2 \end{array} \right.$$

⇒ Dédution de $q_t = P(X_t)$ et $g_t = P(A_t)$

Modélisation de la maintenance

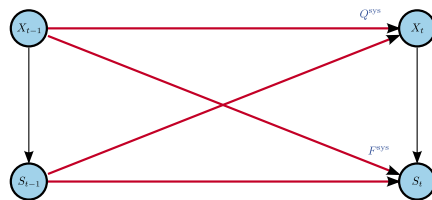
- 4 Modélisation de la maintenance
 - Objectifs
 - Modélisation graphique

Objectifs

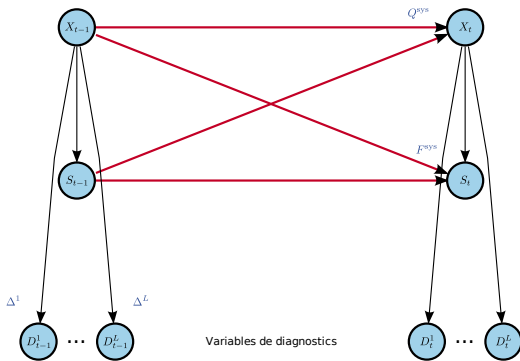
Objectifs

- Modélisation de la maintenance basée sur la fiabilité
- Prise en compte du diagnostic
- Possibilité d'effectuer des actions périodiques
- Considération économique

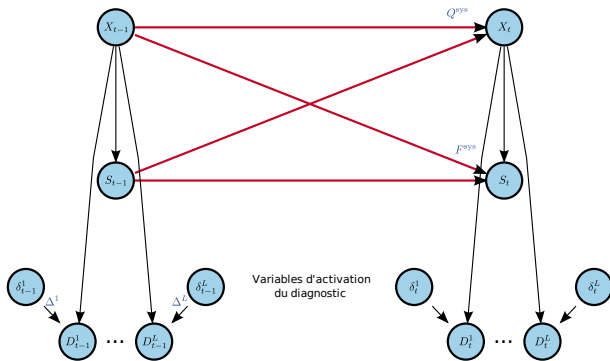
Modélisation graphique



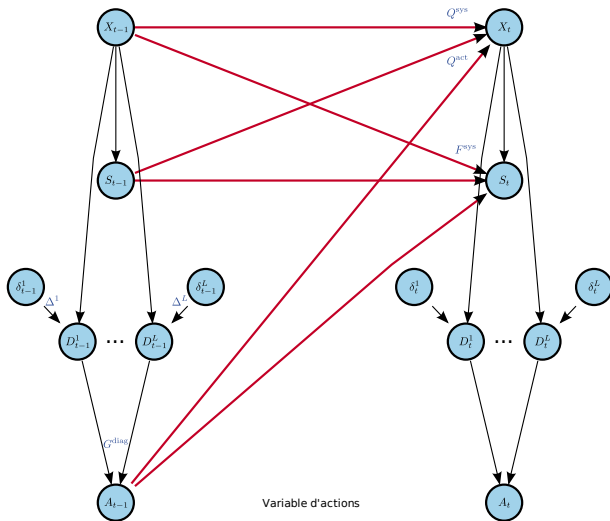
Modélisation graphique



Modélisation graphique



Modélisation graphique



Modélisation probabiliste (1/2)

Diagnostic

- L méthodes de diagnostic indépendantes

Modélisation probabiliste (1/2)

Diagnostic

- L méthodes de diagnostic indépendantes
- La méthode ℓ est activée à l'instant t si $\delta_t^\ell = 1$

Modélisation probabiliste (1/2)

Diagnostic

- L méthodes de diagnostic indépendantes
- La méthode ℓ est activée à l'instant t si $\delta_t^\ell = 1$
- Probabilité que la ℓ -ème méthode détecte que le système est dans l'état x^d sachant qu'il est réellement dans l'état x :

$$\Delta^\ell(x, x^d) = P(D_t = x^d | X_t = x, \delta_t^\ell = 1)$$

Modélisation probabiliste (1/2)

Diagnostic

- L méthodes de diagnostic indépendantes
- La méthode ℓ est activée à l'instant t si $\delta_t^\ell = 1$
- Probabilité que la ℓ -ème méthode détecte que le système est dans l'état x^d sachant qu'il est réellement dans l'état x :

$$\Delta^\ell(x, x^d) = P(D_t = x^d | X_t = x, \delta_t^\ell = 1)$$

- Si les états du système sont ordonnés par gravité croissante
- ⇒ $x^d > x$: Fausse alarme
- ⇒ $x^d < x$: Non détection
- ⇒ $x^d = x$: Bonne détection

Modélisation probabiliste (2/2)

Politique d'actions

- Dans ce cas, la politique d'actions ne dépend plus que des diagnostics
- Probabilité de sélectionner l'action $a \in \mathcal{A}$ à partir des états détectés x_1^d, \dots, x_L^d :

$$G^{\text{diag}} \left(x_1^d, \dots, x_L^d, a \right) = P \left(A_t = a \mid D_t^1 = x_1^d, \dots, D_t^L = x_L^d \right)$$

Modélisation probabiliste (2/2)

Politique d'actions

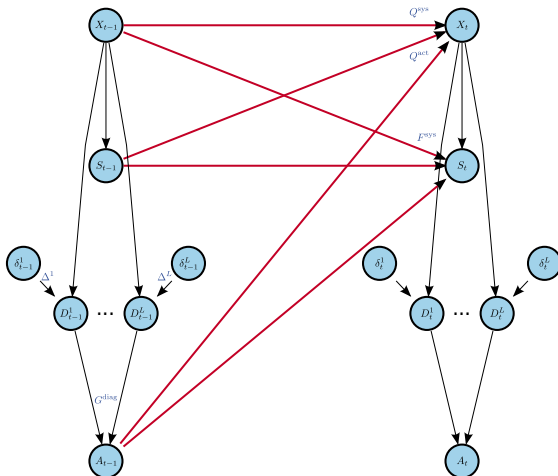
- Dans ce cas, la politique d'actions ne dépend plus que des diagnostics
- Probabilité de sélectionner l'action $a \in \mathcal{A}$ à partir des états détectés x_1^d, \dots, x_L^d :

$$G^{\text{diag}}(x_1^d, \dots, x_L^d, a) = P(A_t = a | D_t^1 = x_1^d, \dots, D_t^L = x_L^d)$$

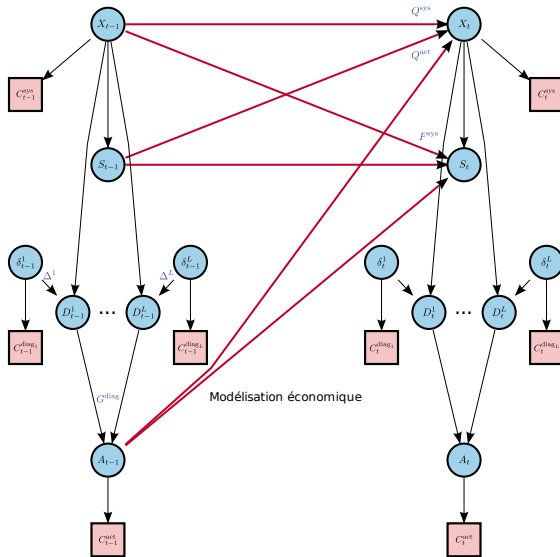
- Par conséquent, $P(A_t = a | X_t = x)$ dépend du temps :

$$G_t(x, a) = \sum_{\ell=1}^L \delta_t^\ell \sum_{x_\ell^d \in \mathcal{X}} \Delta^\ell(x, x_\ell^d) G^{\text{diag}}(x_1^d, \dots, x_L^d, a)$$

Modélisation économique (1/3)



Modélisation économique (1/3)



Modélisation économique (2/3)

Coûts à l'instant t

- **Systeme** : Soit $c^{\text{sys}}(x)$ le coût d'une unité de temps dans l'état x

$$\Rightarrow C^{\text{sys}}(t) = \sum_{x \in \mathcal{X}} c^{\text{sys}}(x) q_t(x)$$

Modélisation économique (2/3)

Coûts à l'instant t

- **Système** : Soit $c^{\text{sys}}(x)$ le coût d'une unité de temps dans l'état x

$$\Rightarrow C^{\text{sys}}(t) = \sum_{x \in \mathcal{X}} c^{\text{sys}}(x) q_t(x)$$

- **Diagnostic** : Soit $c^{\text{diag}}(\ell)$ le coût d'un diagnostic par la méthode ℓ

$$\Rightarrow C^{\text{diag}}(t) = \sum_{\ell=1}^L c^{\text{diag}}(\ell) \delta_t^\ell$$

Modélisation économique (2/3)

Coûts à l'instant t

- **Système** : Soit $c^{\text{sys}}(x)$ le coût d'une unité de temps dans l'état x

$$\Rightarrow C^{\text{sys}}(t) = \sum_{x \in \mathcal{X}} c^{\text{sys}}(x) q_t(x)$$

- **Diagnostic** : Soit $c^{\text{diag}}(\ell)$ le coût d'un diagnostic par la méthode ℓ

$$\Rightarrow C^{\text{diag}}(t) = \sum_{\ell=1}^L c^{\text{diag}}(\ell) \delta_t^\ell$$

- **Action** : Soit $c^{\text{act}}(a)$ le coût de l'action a

$$\Rightarrow C^{\text{act}}(t) = \sum_{a \in \mathcal{A}} c^{\text{act}}(a) g_t(a)$$

Modélisation économique (3/3)

Coût total

Coût total sur une séquence de longueur T :

$$C(T) = \sum_{t=1}^T C^{\text{sys}}(t) + C^{\text{diag}}(t) + C^{\text{act}}(t)$$

Modélisation économique (3/3)

Coût total

Coût total sur une séquence de longueur T :

$$C(T) = \sum_{t=1}^T C^{\text{sys}}(t) + C^{\text{diag}}(t) + C^{\text{act}}(t)$$

Optimisation

- Trouver les paramètres θ qui minimisent le coût sur une séquence de longueur T :

$$\theta = \arg \min_{\theta} C(T; \theta)$$

- Exemple de paramètres :
 - Activation des diagnostics $(\delta_t^\ell)_{\ell,t}$
 - Politique d'actions G^{diag}

Application ferroviaire

- 5 Application ferroviaire
 - Objectifs et hypothèses
 - Modélisation graphique
 - Étude de cas

Objectifs et hypothèses

Objectifs

- Exploiter le ReX pour étudier la dégradation des rails (fatigue)
- Modéliser le diagnostic et la maintenance de la voie
- Évaluer une politique de maintenance selon différents indicateurs

Objectifs et hypothèses

Objectifs

- Exploiter le ReX pour étudier la dégradation des rails (fatigue)
- Modéliser le diagnostic et la maintenance de la voie
- Évaluer une politique de maintenance selon différents indicateurs

Représentation de la voie

- Modélisation de la voie par deux composants :
 - ① Coupon de rail de longueur L
 - ② Soudure aluminothermique (Pas nécessaire présente)

⇒ Coupon élémentaire

Objectifs et hypothèses

Objectifs

- Exploiter le ReX pour étudier la dégradation des rails (fatigue)
- Modéliser le diagnostic et la maintenance de la voie
- Évaluer une politique de maintenance selon différents indicateurs

Représentation de la voie

- Modélisation de la voie par deux composants :
 - ① Coupon de rail de longueur L
 - ② Soudure aluminothermique (Pas nécessaire présente)

⇒ Coupon élémentaire

Objectifs et hypothèses

Objectifs

- Exploiter le ReX pour étudier la dégradation des rails (fatigue)
- Modéliser le diagnostic et la maintenance de la voie
- Évaluer une politique de maintenance selon différents indicateurs

Représentation de la voie

- Modélisation de la voie par deux composants :
 - ① Coupon de rail de longueur L
 - ② Soudure aluminothermique (Pas nécessaire présente)

⇒ Coupon élémentaire

Objectifs et hypothèses

Objectifs

- Exploiter le ReX pour étudier la dégradation des rails (fatigue)
- Modéliser le diagnostic et la maintenance de la voie
- Évaluer une politique de maintenance selon différents indicateurs

Représentation de la voie

- Modélisation de la voie par deux composants :
 - ① Coupon de rail de longueur L
 - ② Soudure aluminothermique (Pas nécessaire présente)

⇒ Coupon élémentaire

Objectifs et hypothèses

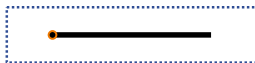
Objectifs

- Exploiter le ReX pour étudier la dégradation des rails (fatigue)
- Modéliser le diagnostic et la maintenance de la voie
- Évaluer une politique de maintenance selon différents indicateurs

Représentation de la voie

- Modélisation de la voie par deux composants :
 - ① Coupon de rail de longueur L
 - ② Soudure aluminothermique (Pas nécessaire présente)

⇒ **Coupon élémentaire**



Coupon élémentaire

Objectifs et hypothèses

Objectifs

- Exploiter le ReX pour étudier la dégradation des rails (fatigue)
- Modéliser le diagnostic et la maintenance de la voie
- Évaluer une politique de maintenance selon différents indicateurs

Hypothèse

- Une file de rail de longueur L' est représentée par N coupons élémentaires **indépendants**
 - Étude de fiabilité sur un coupon élémentaire
- ⇒ Extrapolation des résultats



file de rail = N coupons élémentaires indépendants

Objectifs et hypothèses

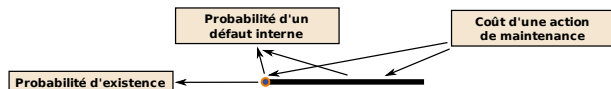
Objectifs

- Exploiter le ReX pour étudier la dégradation des rails (fatigue)
- Modéliser le diagnostic et la maintenance de la voie
- Évaluer une politique de maintenance selon différents indicateurs

Hypothèse

- Une file de rail de longueur L' est représentée par N coupons élémentaires **indépendants**
- Étude de fiabilité sur un coupon élémentaire

⇒ Extrapolation des résultats



Objectifs et hypothèses

Objectifs

- Exploiter le ReX pour étudier la dégradation des rails (fatigue)
- Modéliser le diagnostic et la maintenance de la voie
- Évaluer une politique de maintenance selon différents indicateurs

Hypothèse

- Une file de rail de longueur L' est représentée par N coupons élémentaires **indépendants**
 - Étude de fiabilité sur un coupon élémentaire
- ⇒ Extrapolation des résultats



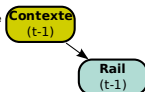
Extrapolation à une voie de longueur quelconque

Modélisation graphique

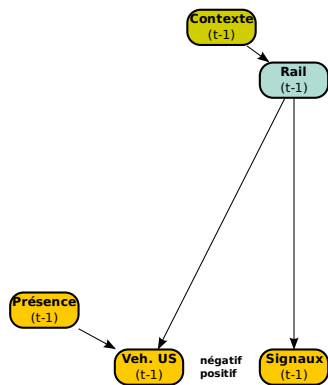


Modélisation graphique

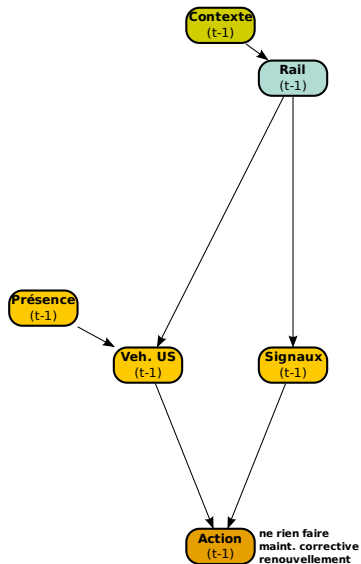
file haute/basse
rayon de courbure
tonnage
...



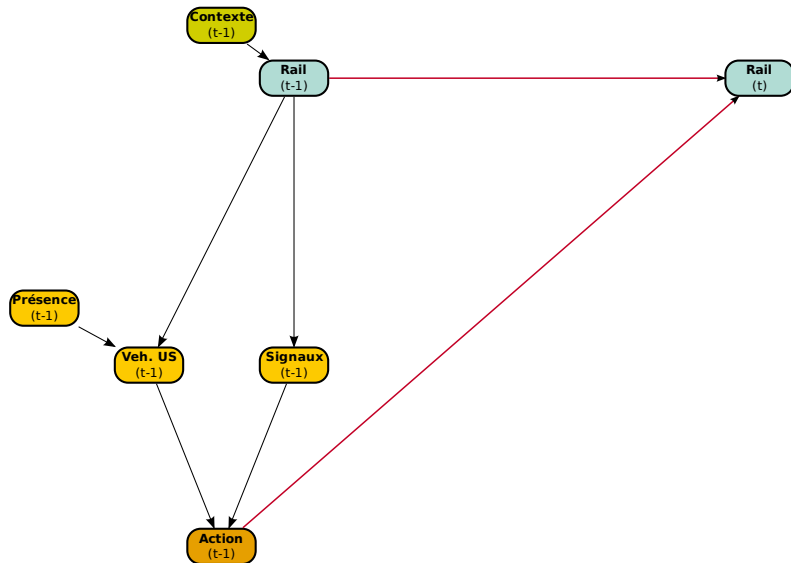
Modélisation graphique



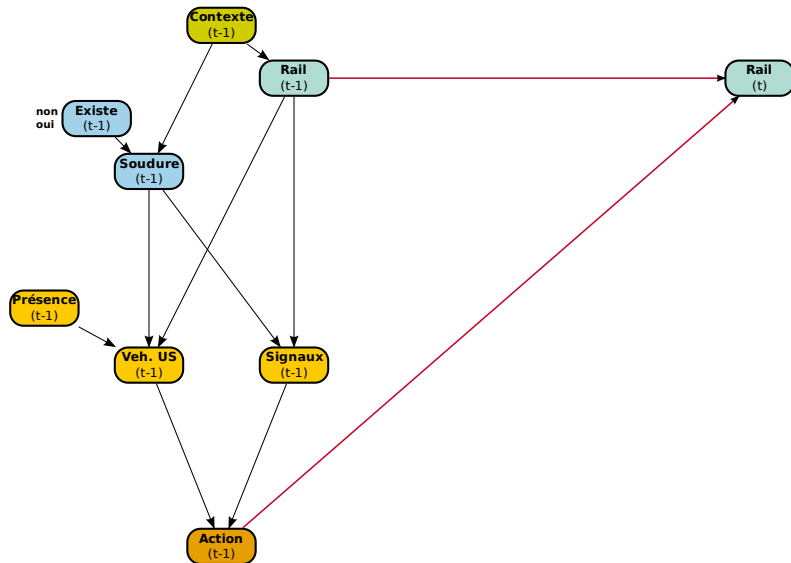
Modélisation graphique



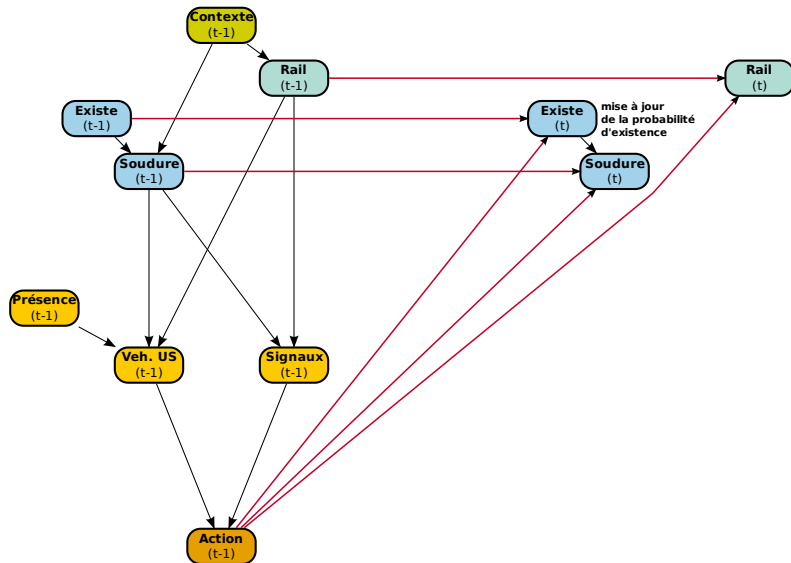
Modélisation graphique



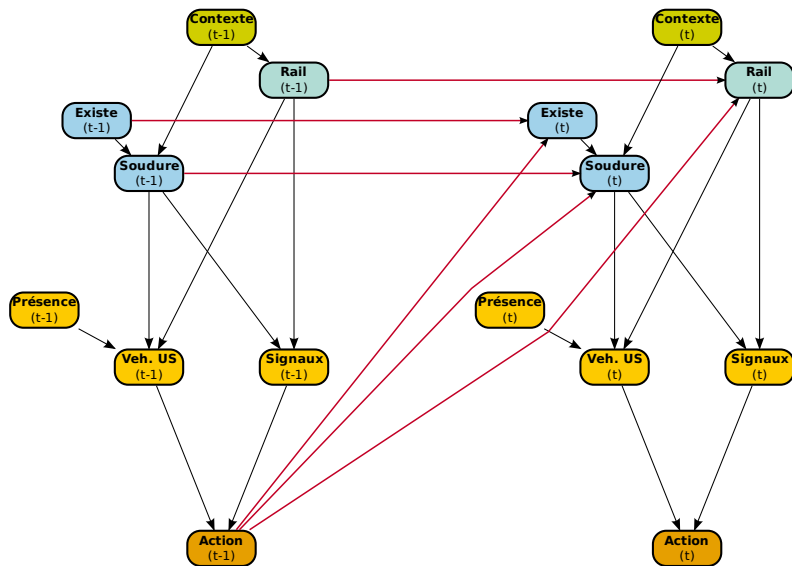
Modélisation graphique



Modélisation graphique



Modélisation graphique



Files hautes du RER A dans le tronçon central

Description

- Réseau : RATP RER A
- Zone : La Defense - Vincennes
- Contexte :
 - Files hautes
 - Rayon < 500 m
- Horizon temporel : 16 ans
- Unité de temps : 1 mois

Files hautes du RER A dans le tronçon central

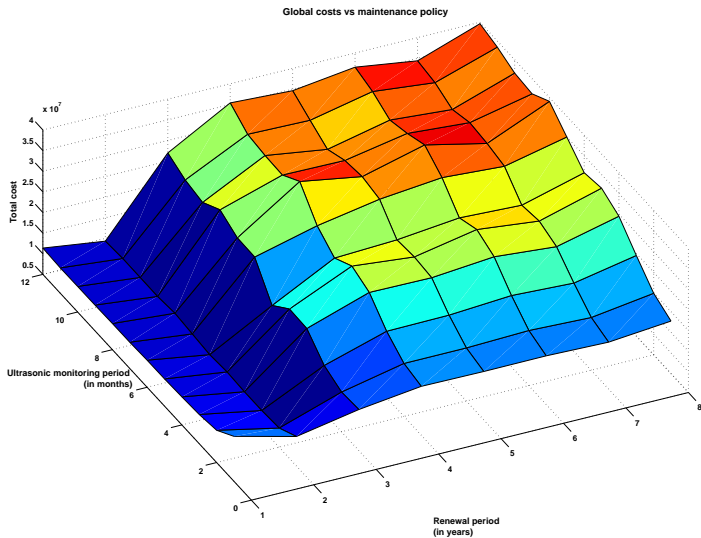
Description

- Réseau : RATP RER A
- Zone : La Defense - Vincennes
- Contexte :
 - Files hautes
 - Rayon < 500 m
- Horizon temporel : 16 ans
- Unité de temps : 1 mois

Paramètres de maintenance et contrainte

- Paramètres de maintenance :
 - Période du véhicule ultrason
 - Période de renouvellement
- Contrainte :
 - Nombre de ruptures ≤ 5 par an

Coûts en fonction de la politique de maintenance



Quelques résultats

| Paramètres | | Résultats (moy. par an) | |
|-------------------------------|--|-------------------------|-----------------|
| <i>Pér ultrason (en mois)</i> | <i>Pér. de renouvellement (en année)</i> | Nb. de ruptures | Coûts |
| 1 | 1 | 0.2 | $99 \cdot 10^4$ |
| 2 | 1 | 1.0 | $80 \cdot 10^4$ |
| 3 | 1 | 2.2 | $76 \cdot 10^4$ |
| ⋮ | ⋮ | ⋮ | ⋮ |
| ⋮ | ⋮ | ⋮ | ⋮ |

Quelques résultats

| Paramètres | | Résultats (moy. par an) | |
|-------------------------------|--|-------------------------|-----------------|
| <i>Pér ultrason (en mois)</i> | <i>Pér. de renouvellement (en année)</i> | Nb. de ruptures | Coûts |
| 1 | 1 | 0.2 | $99 \cdot 10^4$ |
| 2 | 1 | 1.0 | $80 \cdot 10^4$ |
| 3 | 1 | 2.2 | $76 \cdot 10^4$ |
| ⋮ | ⋮ | ⋮ | ⋮ |
| ⋮ | ⋮ | ⋮ | ⋮ |
| 1 | 2 | 0.6 | $76 \cdot 10^4$ |
| 2 | 2 | 2.9 | $60 \cdot 10^4$ |
| 3 | 2 | 5.5 | $58 \cdot 10^4$ |
| ⋮ | ⋮ | ⋮ | ⋮ |
| ⋮ | ⋮ | ⋮ | ⋮ |

Quelques résultats

| Paramètres | | Résultats (moy. par an) | |
|--------------------------------|--|-------------------------|------------------|
| <i>Pér. ultrason (en mois)</i> | <i>Pér. de renouvellement (en année)</i> | Nb. de ruptures | Coûts |
| 1 | 1 | 0.2 | $99 \cdot 10^4$ |
| 2 | 1 | 1.0 | $80 \cdot 10^4$ |
| 3 | 1 | 2.2 | $76 \cdot 10^4$ |
| ⋮ | ⋮ | ⋮ | ⋮ |
| ⋮ | ⋮ | ⋮ | ⋮ |
| 1 | 2 | 0.6 | $76 \cdot 10^4$ |
| 2 | 2 | 2.9 | $60 \cdot 10^4$ |
| 3 | 2 | 5.5 | $58 \cdot 10^4$ |
| ⋮ | ⋮ | ⋮ | ⋮ |
| ⋮ | ⋮ | ⋮ | ⋮ |
| 1 | 8 | 4.7 | $111 \cdot 10^4$ |
| 2 | 8 | 22.4 | $124 \cdot 10^4$ |
| 3 | 8 | 40.9 | $153 \cdot 10^4$ |
| ⋮ | ⋮ | ⋮ | ⋮ |
| ⋮ | ⋮ | ⋮ | ⋮ |

⇒ Dans ce contexte, la meilleur politique est un renouvellement tous les 2 ans associé à une inspection ultrason tous les 2 mois

Conclusions et perspectives

Conclusions

- Utilisation des RB pour représenter un système dynamique
- Proposition d'un modèle de maintenance générique
- Validation de la méthode sur un problème industriel
- Approche applicable à d'autres domaines

Conclusions et perspectives

Conclusions

- Utilisation des RB pour représenter un système dynamique
- Proposition d'un modèle de maintenance générique
- Validation de la méthode sur un problème industriel
- Approche applicable à d'autres domaines

Perspectives

- Formalisation des LPC à composantes déterministes
- Passage au temps continu
- Apprentissage dans un RB à partir de données censurées
- Publication d'une *toolbox* Matlab pour la manipulation des RBM

Bibliographie

Murphy, K. P. (2002).

Dynamic Bayesian Networks : Representation, Inference and Learning.

Ph. D. thesis, University of California, Berkeley.

Naïm, P., P. H. Wuillemin, P. Leray, O. Pourret, and A. Becker (2007).

Réseaux bayésiens (Troisième ed.).

Collection Algorithmes. Paris : Eyrolles.

Pearl, J. (1988, September).

Probabilistic Reasoning in Intelligent Systems : Networks of Plausible Inference.

Morgan Kaufmann.

Questions ?

Merci pour votre attention

Questions ?